

## 掘削泥壁面への土圧に関する考察

高知高専 正吉田泰治  
高知高専 正大谷豆

### 1. まえがき

泥水を使用して土留壁を設置することなく地盤を削削する、いわゆる泥水工法において、未だ解明されていない課題の1つとして掘削泥壁面の安定機構がある。この泥壁面の安定に影響を与えると考えられる因子を(めぐら)と i) 泥水側の安定因子として、泥水密度、泥水の受動抵抗、ii) 泥膜(フィルターケーキ)による因子として、アラスター効果、変位拘束効果、半透膜現象による浸透圧、iii) 地山側の因子として、泥水浸透域での地山のせん断特性改良による安定効果と、壁面に作用する土圧、および地下水による静水圧である。

このうち、特に重要な未解明因子として、壁面に作用する土圧、ヒ泥膜より壁面変位を拘束することによる効果の2つであろう。そこで、このうち特に泥壁面への作用土圧について検討をすこしめ、泥壁面を有する非粘性土模型地盤を室内実験槽を作成し、その破壊実験を重ねてみた。

本報告では、この実験結果を基にして、まず泥壁面への作用土圧についての考え方をしめし(泥膜形成についても概略言及する)、続いて泥壁面への土圧を直接算定する方法での破壊荷重の大きさについても検討を加える。

### 2. 泥壁面に作用する土圧とは

泥水と非粘性土を接触させることで、壁面が崩壊なしに自立するためには、まず壁面上に不透水膜が形成される必要がある。これが泥膜(フィルターケーキ)である。すなはち、泥水( $\gamma = 1.04 \text{ t/cm}^3$ )は水頭差により地山中へ浸透しようとして境界面での滲透作用により、ベントナイト粒子が土粒子に付着し砂の隙間を埋めてしまい薄い泥膜を形成することになる。図-2は泥膜の成長をしめしめ、これによるとベントナイト粒子が境界面までの隙間を埋めるに要する時間は約10~20分である。

それ以後も水頭差( $h$ )で泥膜が成長するとして場合、膜厚 $D$ は膜の透水係数 $k$ ( $\approx 2 \times 10^{-9} \text{ cm/sec}$ )、膜の間隙率 $n_c$ (約88%)とすると(1)式

$$(D+R)^2 - R^2 = \frac{2 k \cdot m \cdot h}{1 - n_c} (t - t_0) \quad \cdots (1)$$

でしめされる。 $m$ =泥水容積濃度(3%)、 $R$ =土粒子半径(0.4 mm)、 $z=20 \text{ cm}$ とすると(1)式より24時間後の膜厚 $D=0.2 \text{ mm}$ となり実測値とは比較にならない程、成長が遅いことがわかる。すなはち、薄い泥膜が形成しき後の膜の成長は水頭差以外の要因(例えば界面動電現象による影響など)が支配的になり、でいふと考えられる。このようにして形成される泥膜によって、境界面で移動しないたく土粒子は、その移動を拘束され、同時に泥水の液圧により地山側へ押しつけられ壁は自立しようとする。これがようは状態にはじめ当然地山側から壁面へ土圧が作用することになる。

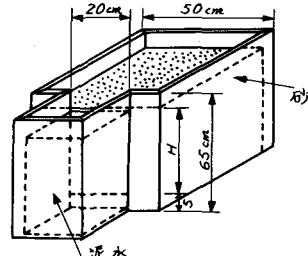


図-1 実験槽

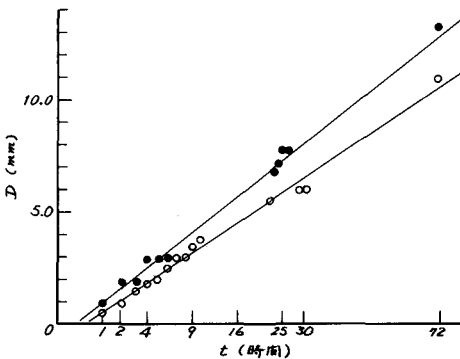


図-2 泥膜成長状況

では、この様な局部的な応力解放面（泥壁面）への作用土圧はどのように評価すればよいのかを検討してみる必要がある。すなわち、壁両端の変位拘束条件から2次元的土壤壁土圧をそのままこの泥壁面に適用出来ない。そこで図-1にしめす実験槽を使用して、自立した泥壁面を有する砂層の破壊実験を試み、その破壊土塊から直接これを検討してみることとした。まず、破壊土塊の大きさを検討する前に破壊時の壁面移動状況をみると図-3のよう下方が大きく変位する回転のすべりをしめしている。

破壊土塊の形状は昨年報告（以ごとく）、平面では橿円形（(2)式）、縦断面では対数らせん形（(3)式）でしめされる。

$$z = \text{Z 平面の平面破壊形状 } f_{cz}/L = f_c/L \times \sqrt{1 - (x/L)^2} \quad (2)$$

$$\left. \begin{aligned} f_c/L &= \frac{1}{IR} \{ \cos \theta \exp(\phi \tan \phi) - \cos \theta_0 \exp(\phi_0 \tan \phi) \} \times f_c/L \\ \theta/L &= \frac{1}{IR} \{ \sin \theta \exp(\phi \tan \phi) - \sin \phi \exp(\phi_0 \tan \phi) \} \times f_c/L \end{aligned} \right\} \quad (3)$$

$$z = IR \cos \phi \exp(\phi \tan \phi) - \cos \theta_0 \exp(\phi_0 \tan \phi), \quad f_c/L = f_c/L \times \sqrt{1 - (x/L)^2}$$

ただし、 $\theta_0$ は次式を満足する値であり、 $f_c$ は壁中央でのライズ長さである。

$$H_s/f_c = \frac{1}{IR} \{ \sin \theta_0 \exp(\phi_0 \tan \phi) - \sin \phi \exp(\phi \tan \phi) \} \quad (4)$$

この破壊土塊の形が最小安全率を与える工塊寸法を調べるために、図-4にしめす地盤を想定し、極Oを中心とするモーメントホラ安全率を求めると（泥膜の変位拘束効果を無視した場合）以下になつた。

$$f_c/H_s = 0.31, \quad f_c = 0.5 \text{ cm} \quad \text{最小安全率 } F_s \min = 0.89$$

いま破壊実験結果から工塊寸法をみると（図-5, 6）  $f_c/H_s = 0.31$   
 $f_c = 7.8 \text{ cm}$  が一応得られる（泥壁中  $2L = 20 \text{ cm}$ ）。

ここでしめされた工塊寸法は計算土塊の大きさと  $f_c/H_s$  ではほぼ等しいが、少し異なる値をみると同時に  $F_s \min < 1.0$  となつていい。

次に泥膜の変位拘束効果による力  $P_x$  が泥壁全面に等分布で存在するときと仮定して  $f_c = 7.8 \text{ cm}$  の時、最小安全率を与える場合を計算すると、

$P_x = 0.7 \text{ t/cm}^2$  で  $F_s \min = 0.93$  となり、この時が丁度実験破壊土塊と同じ大きさになつた。

しかし、破壊実験で求まる安全率は  $F_s = 1.0$  と考えられるから、上記値を少し小さめにする。このことを考慮すると、泥膜の効果として仮定した以外にもまだ安定化因子が存在すると考えられるが、実験が小規模であることから、計算では無視（実際でも無視出来ると考えられる）している。泥膜それ自身の強さ（例えば粘着力）や回旋壁と泥膜の拘束力等が安定に与える程度影響しているものと考えられる。

この破壊土塊によって生ずる泥壁面への土圧は、この工塊形状よりクーロン流で直接算定を試みると、平均土圧係数は  $K_A' = 0.16 \sim 0.18$  とがつてあり、2次元クーロンの平面すべりによる主動土圧係数  $K_A \approx 0.22$  の約7~8割程度の値になつており、擁壁土圧より小さな土圧を与えることになる。

本実験での使用砂は標準砂 ( $e \approx 0.7$ ,  $\phi = 40^\circ$ ) である。

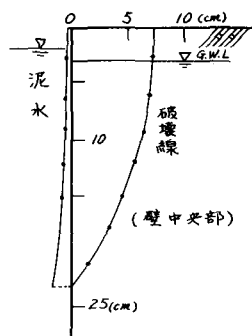


図-3 壁面移動状況

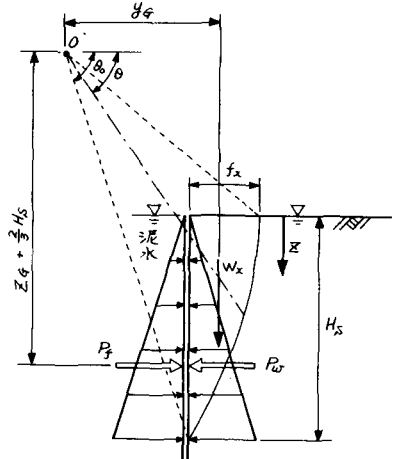


図-4 地盤破壊模式図

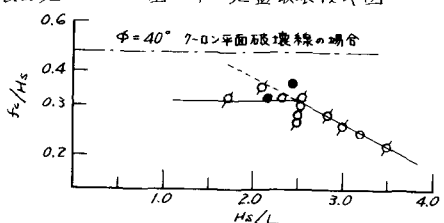


図-5  $f_c/H_s \sim H_s/L$

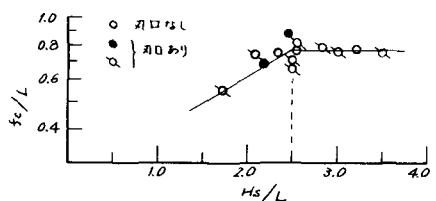


図-6  $f_c/L \sim H_s/L$